

III-106 泥炭性土における物理的性質の強度常数に及ぼす影響

北海道開拓局土木試験所 正会員 佐々木清美
能登 篤幸

1. まえがき

泥炭地盤上に盛土を築造する場合には、地盤の沈下やすべり破壊に対する安定についての検討が行なわれるが、とくにすべり破壊に対する安定の解析に用いる泥炭のセン断強さは、一般には、採取試料についてのセン断試験に困難な問題が伴つたために、実験室によりセン断試験によって決定されることではなく、ベーン試験や静的コーン貫入試験によって決定されることが多い。ベーン試験は、無定形・粒状泥炭や木片を含まない纖維質泥炭に対して十分信頼できる値を与えるとされていて、操作、作業時間、費用などの点から、最近は静的コーン貫入試験が多用される傾向にある。ただし、静的コーン貫入試験で得られるコーン支持力 φ_c は地盤の相対的な強度を表わすに過ぎないので、 φ_c とベーンセン断強さ σ_d との相関々係を把握する必要がある。

すでに、一般粘性土についての δ_c との関係式が幾つか提案されているが、泥炭性土においては、特異な工学的性質を有しているため、従来の土に対する考え方をそのまま適用できず、 δ_c との関係を一定とはならず物理的性質の影響を受けるとの推定される。

本報告は、今回得た実験結果と現在までに得ているデータにとづき、泥炭の物理的性質のうち、含水量ならびに有機物含有量が γ cとしてどの相関関係に与える影響について検討したとのであり、泥炭性軟弱地盤における盛土等の土構造物の安定計算を行なう場合に、今後、増々利用されるであろう静的コーン貫入試験の結果を用いて、より精度の高い地盤のセン断強さを決定する際の参考にしようとするものである。

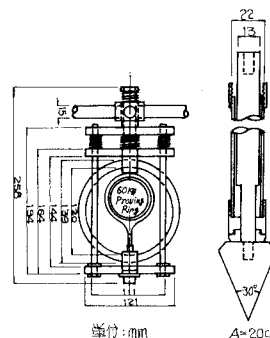
2 調查概要

静的のコーン貫入試験機は、図-1に示す形状寸法で、とくに $\gamma_c \leq 5\text{ kg/cm}^2$ の軟弱地盤調査用に考案されたものであり、通称WP-20型と呼ばれている。コーン貫入速度は約1%secである。WP-20型と2^t用オランダ式静的のコーン貫入試験機によるそれぞれの γ_c の関係は、計算上で $\gamma_c(\text{オランダ式}) = 1.53 \gamma_c(\text{WP-20型})$ ¹⁾、著者らが収集したデータ(調査数155)の整理結果では $\gamma_c(\text{オランダ式}) = 1.12 \gamma_c(\text{WP-20型})$ となっている。

バーン調理機はヒズミ制御型で、バーンの寸法は巾5.5cm、高さ11cmである。

バーンの回転速度は0.1 deg/secが標準になっているが、現場において標準速度で試験を実施するのは操作上困難であるため、ほぼ1.0 deg/secの回転速度とした。

試料の含水量および有機物含有量は、シンウォールサンプリングによる試料から、土質工学会編土質試験法(第1回改訂版)にとづく方法により試験し、含水比 w 、強熱減量 L_{d1} として表わした。



3. 結果と考察

泥炭性土におけるコーン貫入の機構やベーンセン断の機構は現在のところ不明であるが、有機物含有量の多少によりて異なった抵抗の仕方をするであろうことは十分推定できる。すなわち、ベーンセン断の場合には有機物含有量の増加に伴ない、植物組織の引張り・破断抵抗が次第に卓越するようになるのに対し、コーン貫入の場合には、ベーンの場合より植物組織の影響を受けないと考えられる。(たがって τ と α の相関関係は徐々に変化すると予想される)。また、有機物含有量と τ と α の相関性を有する含水量の増加の場合と同様な傾向を示すであろう。

物理的性質の影響を無視した場合の γ_c と γ_r の関係(調査数422)を図-2に示す。統計的処理方法による回帰直線は図中の実線で示され、相関係数 $r=0.64$ であり、比較的相關性がよい。一方、 $\gamma_c=0$ で $\gamma_r=0$ と考え、個々のデータの γ_c/γ_r を求めて単純に平均した場合の式を図中虚線で示している。さらに鎖線は、過去に同様な検討を行なつた関係式である。これらを概略的にまとめるとほぼ $\gamma_r=0.1\gamma_c$ とみなすことができ、一般粘性土の例と近似する。しかし、同図の個々の γ_c/γ_r の値は 0.05 ~ 0.4 の範囲にバラツキ、泥炭土のすべり計算における安全率がせん断強さの一次関数であることを考慮すると、物理的性質の影響を加味した γ_c と γ_r の相関を求め、より精度の高い地盤せん断強さを決定する必要が生じてくる。

図-2のデータを w より
び L_{ig} で区分して整理し、
取扱い上の容易さから γ_c/γ_r
の平均による関係式で表わ
してみると、図-3,4 に示
すとおりである。同図より、
 γ_c/γ_r の値は、ほぼ w, L_{ig} の
増加とともに徐々に大きくなる。
(Kg/cm^2)

各区分ごとの γ_c/γ_r の平均
値と w, L_{ig} とを対比させると図-3 ～ 5 のようになる。同図によると、 γ_c/γ_r の値は、およそ $w=0 \sim 100\%$ では $1/2$, $w=100 \sim 200\%$ では $1/10$, $w=200 \sim 800\%$ では $1/9$, $w=800 \sim 1400\%$ では $1/6$ となり、また $L_{ig}=0 \sim 20\%$ では $1/11$, $L_{ig}=20 \sim 60\%$ では $1/9$, $L_{ig}=60 \sim 80\%$ では $1/8$, $L_{ig}=80 \sim 100\%$ では $1/6$ となる。

このように γ_c/γ_r は、 w や L_{ig} の大小によって影響を受け、図-5 に得られたデータの範囲では、 γ_c/γ_r の最小値と最大値が約 2 倍との差に達することがわかる。

図-3～5 にとづく以上のようないき方から、泥炭の含水量、有機物含有量などの物理的性質は、強度常数に影響を与える、とくに原位置試験から泥炭のせん断強さを決定する場合に問題となる γ_c/γ_r は、物理的性質によりてほぼ一定値を示すことを知り得た。

4. ま す び 泥炭土における γ_c/γ_r は、含水量や有機物含有量の増加とともに大きな値を示す。したがって泥炭性土の強度常数を原位置試験から求め場合は、物理的性質を考慮に入れる必要がある。

[参考文献]

- 1) 土動力学静的トネル衬砌地盤の適用に関する研究, 鉄道技術研究所(1971), 2) 太平至庵: 浅根地盤の地盤強度と入射波振幅の取扱い法, 北海道開拓技術研究会誌, (1974), 3) 佐木晴美: 原位置試験による地盤強度の決定方法, 北海道開拓技術研究会誌, (1974).

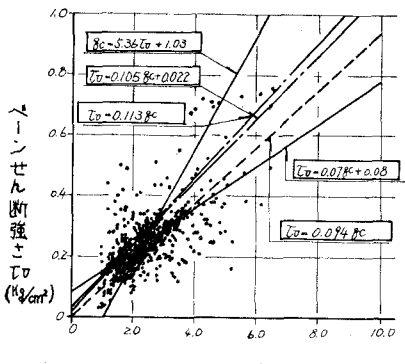


図-2 $\gamma_c \sim \gamma_r$ (物理的性質を無視)

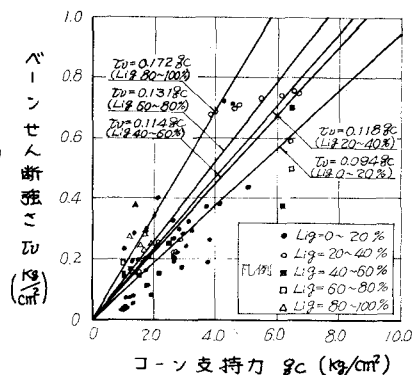


図-3 含水比区分した $\gamma_c \sim \gamma_r$

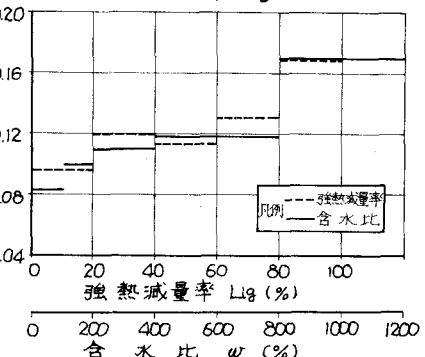


図-4 強度増量区分した $\gamma_c \sim \gamma_r$

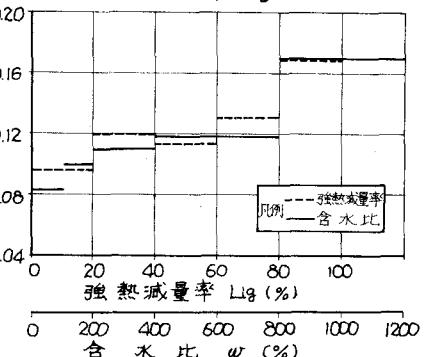


図-5 w, L_{ig} と γ_c/γ_r の関係